

В. Г. Фоменко

ОПРЕДЕЛЕНИЕ БЫСТРОЙ СКОРОСТИ В ДИНАМИЧЕСКОЙ СИСТЕМЕ ТИПА ЛАМЕ

Посвящается юбилею Михаила Игоревича Белишева

§1. ВВЕДЕНИЕ

О работе. В работе [1] решена обратная задача восстановления скоростей быстрых (p -) и медленных (s -) волн в модельной системе типа Ламе по динамическим граничным данным (оператору реакции). Решение основывалось на разделении граничных управлений на два класса: управления из первого класса иницируют только p -волны, управления из второго класса – только s -волны. Разделение было возможно вследствие представления волновых полей внутри области в виде суммы потенциальной и соленоидальной составляющих. Поскольку в полной системе Ламе (с переменной плотностью и младшими членами) подобное представление не имеет силы, не представляется возможным обобщить указанное решение. Позже, в статье [2], та же задача для системы типа Ламе была решена без указанного разделения управлений, однако, решение является теоретически довольно сложным и имеет мало шансов на численную реализацию.

В настоящей работе предлагается схема решения обратной задачи, использующая установленную в [3] возможность концентрации волн в *шапочках* (малых областях) на концах p - и s -лучей¹. С идейной точки зрения это решение проще и наглядней, и имеет шансы на численную реализацию. Поскольку оно также не использует разделение управлений, с ним связаны надежды на прогресс в задаче для полной системы Ламе².

Ключевые слова: обратные задачи, система типа Ламе.

¹Краткое изложение см. в [4].

²Однако, в отличие от решения [2], пока таким способом удастся восстановить только быструю скорость.

Предложенная схема, как и предыдущие, является версией метода граничного управления (ВС-метод, М. И. Белишев, 1986)³, использующего свойства управляемости динамических систем для решения обратных задач⁴.

Отметим, что на сегодняшний день в классе рассматриваемых многомерных обратных задач ВС-метод является единственным подходом, который позволяет восстанавливать скорости оптимальным по времени образом: глубина восстановления пропорциональна времени наблюдения на границе. Это свойство наиболее актуально в геофизических приложениях, поскольку именно оно позволяет восстанавливать параметры среды в реальном времени.

Основной результат. Рассматривается динамическая система типа Ламе, в которой имеются волновые моды двух типов (p -волны и s -волны), а скорости мод c_p и c_s зависят от точки, причем всюду $c_p > c_s$. Плотность в области предполагается постоянной ($\rho = 1$).

Главный результат работы – восстановление скорости c_p в приграничной (регулярной) зоне по оператору реакции на глубину, соответствующую времени наблюдения.

§2. ГЕОМЕТРИЯ

2.1. Метрики. Пусть $\Omega \subset \mathbb{R}^3$ есть ограниченная область с гладкой⁵ границей Γ . В $\bar{\Omega}$ заданы две гладкие функции (*скорости*) $c_\alpha = c_\alpha(x)$ (здесь и далее везде $\alpha = p, s$), такие, что $0 < c_s < c_p$. Они определяют в $\bar{\Omega}$ конформно-евклидовы метрики

$$ds_\alpha^2 := \frac{|dx|^2}{c_\alpha^2}, \quad (2.1)$$

где $|dx|$ – евклидов элемент длины в \mathbb{R}^3 . Через $\tau_\alpha(x, y)$ обозначим расстояния в этих метриках. Величины $T_\alpha^* := \max_{\Omega} \tau_\alpha(\cdot, \Gamma)$ назовем *временами заполнения*.

Для подмножества $A \subset \bar{\Omega}$ определим его *метрические окрестности*

$$\Omega_\alpha^r[A] := \{x \in \bar{\Omega} \mid \tau_\alpha(x, A) < r\}, \quad r > 0 \quad (2.2)$$

³См. [5] и обзор [6].

⁴Для полной системы Ламе эти свойства установлены в [7].

⁵Всюду в работе, применительно к поверхностям, функциям, полям и т.д., *гладкий* означает C^∞ -гладкий.

и обозначим через $\Omega_\alpha^r := \Omega_\alpha^r[\Gamma]$ окрестности границы (приграничные слои “толщины” r). Из соотношения скоростей следует

$$\tau_p(x, y) < \tau_s(x, y), \quad \Omega_s^r[A] \subset \Omega_p^r[A]$$

для любых $x, y \in \bar{\Omega}$ ($x \neq y$) и $r > 0$. Термин “времена заполнения” проясняется равенствами $T_\alpha^* = \inf \{r > 0 \mid \Omega_\alpha^r = \bar{\Omega}\}$.

Для $A \subset \bar{\Omega}$ определим эквидистантные поверхности

$$\Gamma_\alpha^r[A] := \{x \in \bar{\Omega} \mid \tau_\alpha(x, A) = r\}, \quad r > 0$$

и обозначим через $\Gamma_\alpha^r := \Gamma_\alpha^r[\Gamma]$ эквидистанты границы.

2.2. Регулярная зона. Точке $x \in \bar{\Omega}$ сопоставим множества $\gamma_\alpha(x) := \{\gamma \in \Gamma \mid \tau_\alpha(x, \gamma) = \tau_\alpha(x, \Gamma)\}$ ближайших точек границы. Как известно, при достаточно малом $r > 0$ для любого $x \in \Omega_\alpha^r$ каждое из множеств $\gamma_\alpha(x)$ состоит из одной точки, а система полугеодезических (лучевых) координат с базой Γ регулярна в Ω_α^r . Пусть T_α^{reg} – точные верхние грани тех r , при которых такая регулярность имеет место. Приграничные слои $\Omega_\alpha^{T_\alpha^{\text{reg}}}$ мы называем *регулярными зонами* соответствующих метрик.

Определим $T^{\text{reg}} := \min\{T_p^{\text{reg}}, T_s^{\text{reg}}\}$ и общую регулярную зону $\Omega^{T^{\text{reg}}} := \Omega_p^{T^{\text{reg}}}$. Все дальнейшие рассуждения мы проводим в этой общей регулярной зоне.

2.3. Шапочки. Пусть $\sigma \subset \Gamma$ есть (малое) замкнутое подмножество с гладкой границей. Как пример, укажем “круги”

$$D_\alpha^r[\gamma] := \{\gamma' \in \Gamma \mid \tau_\alpha(\gamma', \gamma) \leq r\}$$

с малым $r > 0$.

Фиксируем положительное $T < T_\alpha^*$ и (малое) $\varepsilon > 0$. *Шапочками* мы называем множества вида

$$\omega_\alpha^{T, \varepsilon}[\sigma] := (\bar{\Omega}_\alpha^T \setminus \Omega_\alpha^{T-\varepsilon}) \cap \bar{\Omega}_\alpha^T[\sigma]. \quad (2.3)$$

Для любой из метрик их типичный вид в регулярной зоне (при $T < T^{\text{reg}}$) иллюстрирует рис. 1, на котором опущен индекс α в обозначении шапочек, эквидистант и т.д.⁶

Пунктиром указаны “вертикальные” лучи (геодезические метрики (2.1)), исходящие из точек σ внутрь Ω по нормали к Γ). Сама шапочка затенена.

⁶Рисунки и часть определений заимствованы из [3].

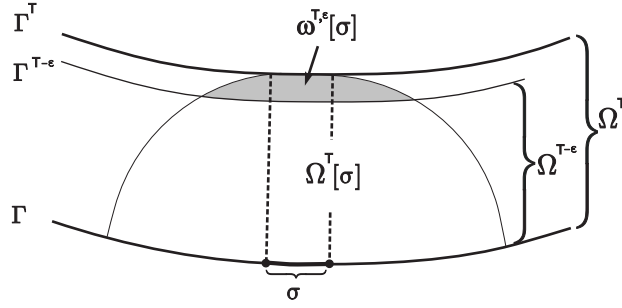


Рис. 1. Шапочка.

Отметим свойство монотонности: $\omega_\alpha^{\xi, \varepsilon'}[\sigma_{\varepsilon'}(\gamma)] \subset \omega_\alpha^{\xi, \varepsilon}[\sigma_\varepsilon(\gamma)]$ при $\varepsilon' < \varepsilon$. Введем множество

$$\lim_{\varepsilon \rightarrow 0} \omega_\alpha^{\xi, \varepsilon}[\sigma_\varepsilon(\gamma)] := \bigcap_{0 < \varepsilon < \xi} \bar{\omega}_\alpha^{\xi, \varepsilon}[\sigma_\varepsilon(\gamma)].$$

Пусть точка $x_\alpha(\gamma, \xi)$ – конец отрезка длины ξ соответствующего луча, исходящего из $\gamma \in \Gamma$ по нормали к Γ . Следующий результат описывает поведение шапочек при $\varepsilon \rightarrow 0$ (см. [8, Lemma 1]).

Предложение 2.1. При временах $\xi < T^{\text{reg}}$ справедливо равенство

$$\lim_{\varepsilon \rightarrow 0} \omega_\alpha^{\xi, \varepsilon}[\sigma_\varepsilon(\gamma)] = x_\alpha(\gamma, \xi), \quad \alpha = p, s. \quad (2.4)$$

Оно показывает, что при $\varepsilon \rightarrow 0$ шапочка $\omega_\alpha^{\xi, \varepsilon}[\sigma_\varepsilon(\gamma)]$ стягивается к точке $x_\alpha(\gamma, \xi)$, расположенной на конце соответствующего луча, исходящего из точки γ по нормали к границе Γ .

Шапочки – инструмент решения ряда обратных задач: см. [8–11].

2.4. Области влияния. В дальнейшем переменная $t \geq 0$ играет роль времени. Фиксируем $T > 0$ и обозначим через

$$Q^T := \Omega \times (0, T) \subset \mathbb{R}^4, \quad \Sigma^T := \Gamma \times [0, T]$$

пространственно-временной цилиндр и его боковую поверхность.

Для точки $(x_0, t_0) \in \bar{Q}^T = \bar{\Omega} \times [0, T]$ определим конусы влияния

$$K_\alpha^T[(x_0, t_0)] := \left\{ (x, t) \in \bar{Q}^T \mid \tau_\alpha(x, x_0) \leq t - t_0 \right\}.$$

Для $B \subset \overline{Q^T}$ подобласть

$$K_\alpha^T[B] := \overline{\bigcup_{(x_0, t_0) \in B} K_\alpha^T[(x_0, t_0)]} \quad (2.5)$$

называется *областью влияния* множества B .

Выбрав $\sigma \subset \Gamma$, обозначим

$$\Sigma_\sigma^T := \overline{\sigma} \times [0, T].$$

Из определений видно, что сечение $t = \xi$ области влияния $K_\alpha^T[\Sigma_\sigma^T]$ совпадает с ξ -окрестностью σ в Ω :

$$\{x \in \overline{\Omega} \mid (x, \xi) \in K_\alpha^T[\Sigma_\sigma^T]\} = \overline{\Omega_\alpha^\xi[\sigma]}, \quad 0 < \xi \leq T. \quad (2.6)$$

Определим подмножества

$$\Xi_\alpha^T[\sigma] := \Sigma^T \cap K_\alpha^T[\Sigma_\sigma^T] \quad (2.7)$$

боковой поверхности цилиндра.

На иллюстрации (рис. 2): множеству σ соответствует отрезок $\{7, 8\}$; части Σ_σ^T боковой поверхности Σ^T соответствует четырехугольник $\{7, 8, 3, 2\}$; окрестность $\Omega_\alpha^T[\sigma]$ ограничена контуром $\{1, 2, 3, 4, 5, 6, 1\}$; множество $\Xi_\alpha^T[\sigma]$ на Σ^T ограничивает контур $\{1, 7, 8, 4, 3, 2, 1\}$.

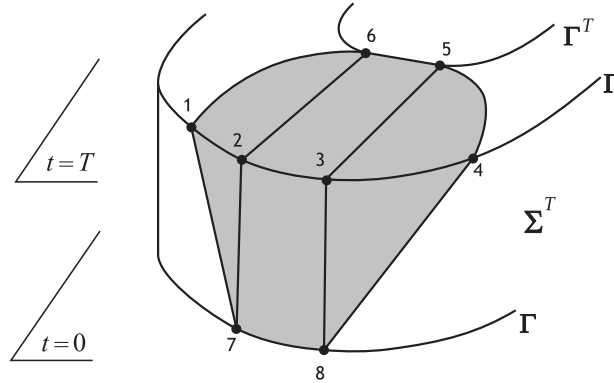


Рис. 2. Области влияния.

С системой типа Ламе будут связаны две метрики вида (2.1), определяемых скоростями волновых мод c_p и c_s , причем $c_p > c_s$ всюду

в $\bar{\Omega}$. На рис. 3 (3а) показана картина окрестностей в регулярной зоне. Шапочки $\omega_p^{T, \varepsilon}[\sigma]$ и $\omega_s^{T, \varepsilon}[\sigma]$ затенены.

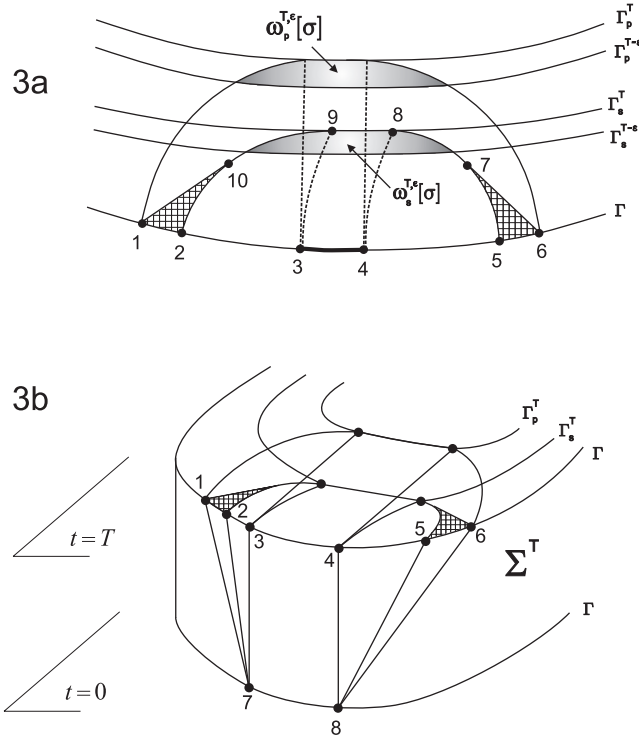


Рис. 3. Пара метрик.

Пара метрик определяет подобласть в Ω вида

$$\Lambda_{ps}^T[\sigma] := \{x \in \Omega \mid (x, T) \in K_s^T[\Xi_p^T[\sigma]]\} \supset \Omega_s^T[\sigma] \quad (2.8)$$

(на рис. 3 (3а) ограничена контуром $\{1, 2, 3, 4, 5, 6, 7, 8, 9, 10, 1\}$). Ее часть $\Lambda_{ps}^T[\sigma] \setminus \Omega_s^T[\sigma]$ в динамике соответствует зоне, в которой присутствуют так называемые *боковые волны* (указана штриховкой). При достаточно малом ε эта часть отделена от шапочки $\omega_s^{T, \varepsilon}[\sigma]$ положительным расстоянием [3].

Рис. 3 (3b) иллюстрирует геометрию областей влияния для пары метрик. Области $\Xi_p^T[\sigma]$ и $\Xi_s^T[\sigma]$ ограничены контурами

$$\{1, 7, 8, 6, 5, 4, 3, 2, 1\} \quad \text{и} \quad \{2, 7, 8, 5, 4, 3, 2\}$$

соответственно.

§3. ФУНКЦИИ И ПОЛЯ

Рассматриваются следующие множества вещественных числовых и векторных (\mathbb{R}^3 -значных) функций. Последние называем полями.

Пространство \mathcal{H} . Основную роль играет пространство полей

$$\mathcal{H} := L_2(\Omega; \mathbb{R}^3)$$

со скалярным произведением

$$(y, v)_{\mathcal{H}} := \int_{\Omega} y(x) \cdot v(x) dx;$$

где “ \cdot ” – стандартное скалярное произведение в \mathbb{R}^3 . Для измеримого $A \subset \Omega$ определим подпространство

$$\mathcal{H}[A] := \{y \in \mathcal{H} \mid \text{supp } y \subset \bar{A}\}.$$

Через $H^1(\Omega)$ обозначим соболевское пространство $W_2^1(\Omega)$ с нормой

$$\|u\|_{H^1(\Omega)} := \left(\int_{\Omega} (u^2(x) + |\nabla u(x)|^2) dx \right)^{1/2}.$$

Вектор $a \in \mathbb{R}^3$ в точке границы раскладывается в сумму

$$a = a_{\nu} + a_{\theta} = a^{\nu} \nu + a_{\theta}, \quad (3.1)$$

где ν – евклидова внешняя единичная нормаль к Γ , $a^{\nu} = a \cdot \nu$; a_{ν} , a_{θ} суть нормальная и касательная компоненты. Этому разложению мы сопоставляем запись

$$a = \begin{pmatrix} a^{\nu} \\ a_{\theta} \end{pmatrix}. \quad (3.2)$$

В пространстве \mathcal{H} выделим подпространства:

(1) *соленоидальных полей*

$$\mathcal{J} := \{y \in \mathcal{H} \mid \text{div } y = 0 \text{ в } \Omega, y_{\nu} = 0 \text{ на } \Gamma\} \quad (3.3)$$

(операция div понимается в смысле распределений); множество гладких полей $\mathcal{J} \cap C^{\infty}(\bar{\Omega}; \mathbb{R}^3)$ плотно в \mathcal{J} ;

(2) *потенциальных полей*

$$\mathcal{G} := \{h \in \mathcal{H} \mid h = \nabla\varphi, \varphi \in H^1(\Omega)\}; \quad (3.4)$$

множество гладких полей $\mathcal{G} \cap C^\infty(\overline{\Omega}; \mathbb{R}^3)$ плотно в \mathcal{G} .

Подпространства \mathcal{J} и \mathcal{G} , состоящие из полей, локализованных в A , обозначаем, соответственно, $\mathcal{J}[A]$ и $\mathcal{G}[A]$.

Справедливо равенство (разложение Вейля)

$$\mathcal{H} = \mathcal{J} \oplus \mathcal{G}$$

(см. [12–14]).

Пространство \mathcal{F}^T . Определим пространство $\mathcal{F}^T := L_2(\Sigma^T; \mathbb{R}^3)$ со скалярным произведением

$$(f, g)_{\mathcal{F}^T} := \int_{\Sigma^T} f(\gamma, t) \cdot g(\gamma, t) d\Gamma dt,$$

где $d\Gamma$ – евклидов элемент площади на Γ . Класс гладких полей

$$\mathcal{M}^T := \{f \in C^\infty(\Sigma^T; \mathbb{R}^3) \mid \text{supp } f \subset \Gamma \times (0, T]\}$$

плотен в \mathcal{F}^T . Отметим, что поля из \mathcal{M}^T аннулируются вблизи $t = 0$.

Подмножеству $B \subset \Sigma^T$ сопоставим подпространство

$$\mathcal{F}^T[B] := \{f \in \mathcal{F}^T \mid \text{supp } f \subset \overline{B}\},$$

содержащее⁷ плотное множество гладких полей $\mathcal{M}^T[B] := \mathcal{M}^T \cap \mathcal{F}^T[B]$.

Введем скалярное и векторное пространства

$$\mathcal{F}_p^T := L_2(\Sigma^T), \quad \mathcal{F}_s^T := \{f \in \mathcal{F}^T \mid (\nu \cdot f)|_\Gamma = 0\}.$$

Их подпространства $\mathcal{F}_\alpha^T[B]$ ($\alpha = p, s$) состоят из элементов с носителями в \overline{B} .

Подпространства

$$\mathcal{M}_p^T[B] := \{f \in C^\infty(\Sigma^T) \mid \text{supp } f \subset \Gamma \times (0, T]\} \cap \mathcal{F}_p^T[B],$$

$$\mathcal{M}_s^T[B] := \mathcal{M}^T \cap \mathcal{F}_s^T[B]$$

суть гладкие функции и поля, аннулирующиеся вблизи $t = 0$.

В соответствии с (3.2), запишем:

$$\mathcal{F}^T = \begin{pmatrix} \mathcal{F}_p^T \\ \mathcal{F}_s^T \end{pmatrix}.$$

⁷В случае, если мера границы подмножества B равна нулю на Σ^T .

§4. СИСТЕМА ТИПА ЛАМЕ

4.1. Начально-краевая задача. Пусть $\Omega \subset \mathbb{R}^3$ – ограниченная область с гладкой границей Γ . Фиксируем $T \in (0, \infty)$. Обозначим $\varkappa := c_p^2$, $\mu := c_s^2$.

Рассмотрим начально-краевую задачу

$$u_{tt} = \nabla \varkappa \operatorname{div} u - \operatorname{rot} \mu \operatorname{rot} u \quad \text{в } Q^T, \quad (4.1)$$

$$u|_{t=0} = u_t|_{t=0} = 0 \quad \text{в } \bar{\Omega}, \quad (4.2)$$

$$u = f \quad \text{на } \Sigma^T, \quad (4.3)$$

с гладкими переменными коэффициентами $\mu = \mu(x) > 0$, $\varkappa = \varkappa(x) > 0$ в $\bar{\Omega}$; отметим, что $\varkappa = \lambda + 2\mu$ (λ и μ – стандартные коэффициенты Ламе). Эту систему мы называем *системой типа Ламе* и обозначаем символом α^T . Уравнение (4.1) получается из полного уравнения Ламе⁸, описывающего распространение волн в упругой среде, удержанием старших (по порядку дифференцирования) членов; кроме того, полагаем плотность в области $\rho = 1$ [1]. Заметим, что основные свойства полной системы (регулярность решений, управляемость) [7] остаются верными и для системы типа Ламе [3].

\mathbb{R}^3 -значная функция $f = f(\gamma, t)$ называется *граничным управлением* (Дирихле). Она описывает смещения точек границы, инициирующие волновой процесс в Ω . Решение $u = u^f(x, t)$ (*волна*) есть \mathbb{R}^3 -значная функция, описывающая смещения точек среды в Ω . Для управлений класса \mathcal{M}^T задача (4.1)–(4.3) имеет единственное классическое гладкое решение u^f .

Отображение $f \mapsto u^f$ непрерывно из \mathcal{F}^T в $L_2((0, T); L_2(\Omega; \mathbb{R}^3))$ [7]. Следовательно, оно расширяется с \mathcal{M}^T на управления из \mathcal{F}^T по непрерывности. Под (обобщенным) решением задачи (4.1)–(4.3) для управлений этого класса мы подразумеваем образ f при действии этого расширения.

⁸В [15] показано, что в инвариантной (бескоординатной) форме уравнение Ламе может быть записано в виде: $\rho u_{tt} = Lu$;

$$L := \nabla(\lambda + 2\mu) \operatorname{div} - \operatorname{rot} \mu \operatorname{rot} + 2([\nabla \mu \times \operatorname{rot}] + [\nabla \mu \times \operatorname{rot}]^* + H_\mu - q), \quad (4.4)$$

где оператор $[\dots]^*$ – сопряженный по Лагранжу, H_μ – оператор умножения на матрицу-функцию вторых производных $(H_\mu)_{ik} = \frac{\partial^2 \mu}{\partial x_i \partial x_k}$, q – оператор умножения на функцию $q = \Delta \mu$.

4.2. Конечность области влияния. Функции

$$c_p = \sqrt{\varkappa}, \quad c_s = \sqrt{\mu}$$

($0 < c_s < c_p$) имеют смысл скоростей продольной (быстрой) и поперечной (медленной) мод соответственно. Скорости определяют две конформно-евклидовы метрики $dt_\alpha^2 := \frac{|dx|^2}{c_\alpha^2}$ ($\alpha = p, s$) в $\bar{\Omega}$. Каждая из них задает свои расстояния, окрестности, геодезические, области влияния и т.д.

Уравнение типа Ламе является гиперболическим и имеет два семейства характеристик $\chi_\alpha(x, t) = \text{const}$ в Q^T , определяемых уравнениями $\left(\frac{\partial \chi_\alpha}{\partial t}\right)^2 - c_\alpha^2 |\nabla \chi|^2 = 0$.

По гиперболичности задачи (4.1)–(4.3) имеем известное соотношение

$$\text{supp } u^f \subset K_p^T[\text{supp } f], \quad (4.5)$$

о котором говорят как о *принципе конечности области влияния*. Оно показывает, что волны в системе типа Ламе распространяются со скоростью, не превышающей скорости быстрой моды c_p .

Пусть $\sigma \subset \Gamma$ и пусть $f \in \mathcal{F}^T[\Sigma_\sigma^T]$, т.е. управление f действует с σ . С учетом (2.6) из соотношения (4.5) следует

$$\text{supp } u^f(\cdot, t) \subset \overline{\Omega_p^t[\sigma]}, \quad t > 0. \quad (4.6)$$

4.3. Динамическая система типа Ламе. Здесь и далее мы рассматриваем задачу (4.1)–(4.3) как динамическую систему, обозначаемую через α^T , и снабжаем ее атрибутами теории управления – пространствами и операторами.

Пространство управлений \mathcal{F}^T называется *внешним пространством* системы α^T . Решение u^f интерпретируется как *траектория* системы, а $u^f(\cdot, t)$ – ее *состояние* в момент времени t . Пространство \mathcal{H} называется *внутренним*. По свойству L_2 -регулярности решений (см. конец раздела 4.1) все волны $u^f(\cdot, t)$ суть его элементы.

Согласно (4.6), соотношение $f \in \mathcal{F}^T[\Sigma_\sigma^T]$ влечет $u^f(\cdot, t) \in \mathcal{H}[\Omega_p^t[\sigma]]$ при всех $0 < t \leq T$, т.е. вся траектория u^f системы α^T не покидает подпространства $\mathcal{H}[\Omega_p^T[\sigma]]$.

4.4. Оператор реакции. Обозначим через $\mathbf{H}^k(\Omega)$ векторные соболевские классы с нормой⁹

$$\|u\|_{\mathbf{H}^k(\Omega)} := \left(\sum_{0 \leq |\alpha| \leq k} \|D^\alpha u\|_{\mathcal{H}}^2 \right)^{1/2}.$$

На полях класса $\mathbf{H}^2(\Omega)$ введем оператор

$$L := \nabla \varkappa \operatorname{div} - \operatorname{rot} \mu \operatorname{rot},$$

определяющий эволюцию системы α^T . Интегрированием по частям для гладких u и v устанавливается равенство (формула Грина):

$$\begin{aligned} (Lu, v)_{\mathcal{H}} - (u, Lv)_{\mathcal{H}} &= \int_{\Gamma} \begin{pmatrix} \varkappa \operatorname{div} u \\ \mu \operatorname{rot} u \times \nu \end{pmatrix} \cdot \begin{pmatrix} v^\nu \\ v_\theta \end{pmatrix} d\Gamma \\ - \int_{\Gamma} \begin{pmatrix} u^\nu \\ u_\theta \end{pmatrix} \cdot \begin{pmatrix} \varkappa \operatorname{div} v \\ \mu \operatorname{rot} v \times \nu \end{pmatrix} d\Gamma &= (Nu, Dv)_{L_2(\Gamma; \mathbb{R}^3)} - (Du, Nv)_{L_2(\Gamma; \mathbb{R}^3)}; \end{aligned}$$

мы воспользовались соглашением о записи (3.1)–(3.2) и обозначили

$$Du := \begin{pmatrix} u^\nu \\ u_\theta \end{pmatrix}, \quad Nu := \begin{pmatrix} \varkappa \operatorname{div} u \\ \mu \operatorname{rot} u \times \nu \end{pmatrix} \quad \text{на } \Gamma. \quad (4.7)$$

Соответствие “вход–выход” в динамической системе α^T описывается оператором реакции $R^T: \mathcal{F}^T \rightarrow \mathcal{F}^T$, $\operatorname{Dom} R^T = \mathcal{M}^T$:

$$R^T f := Nu^f \quad \text{на } \Sigma^T, \quad (4.8)$$

где N – оператор (Неймана), определяемый второй формулой в (4.7). Оператор реакции корректно определен в силу замечания в конце раздела 4.1.

Действие R^T на управление $f = \begin{pmatrix} f^\nu \\ f_\theta \end{pmatrix}$, в соответствии с определением (4.8) и соглашением о записи (3.1)–(3.2), можно представить в виде [1]¹⁰:

$$R^T f := \begin{pmatrix} \varkappa \operatorname{div} u^f \\ \mu \operatorname{rot} u^f \times \nu \end{pmatrix} \quad \text{на } \Sigma^T. \quad (4.9)$$

⁹ $D^\alpha u := \frac{\partial^{|\alpha|} u}{\partial x_1^{\alpha_1} \partial x_2^{\alpha_2} \partial x_3^{\alpha_3}}$, $D^0 u := u$; $|\alpha| := \sum_{i=1}^3 \alpha_i$ (α_i – целые неотрицательные числа).

¹⁰Для полной системы Ламе вид оператора реакции в подобной записи установлен в [15].

В [1] установлено, что

$$\text{Ker}R^T = 0, \quad \text{Ran}R^T = \mathcal{M}^T. \quad (4.10)$$

Оператор реакции адекватен информации, которой располагает внешний наблюдатель, проводящий измерения на границе и изучающий систему по ее отклику на воздействие управлений.

4.5. Постановка обратной задачи. Постановка *динамической обратной задачи* такова. По оператору реакции R^{2T} , заданному при фиксированном $T > 0$, и известным функциям на границе $c_\alpha|_\Gamma, \frac{\partial c_\alpha}{\partial \nu}|_\Gamma$ (ν – внешняя единичная нормаль к Γ ; $\alpha = p, s$) требуется определить скорости волн: c_p в области Ω_p^T и c_s в области Ω_s^T .

Тот факт, что в постановке используется R^{2T} (а не R^T), адекватен свойству конечности области влияния данных [1, 5, 16]. С физической точки зрения, удвоение времени наблюдения имеет ту же причину, что и в эхолокации. Волна, инициированная в момент $t = 0$ на границе и зондирующая среду, продвигается вглубь Ω с конечной скоростью и за время T проходит приграничный слой “толщины” T . Она порождает отраженные волны, возвращающиеся (с той же скоростью) к границе и несущие информацию о среде. Волны, отраженные от неоднородностей, наиболее удаленных от границы, успеют вернуться к ней не раньше, чем через $2T$ единиц времени. Поэтому, для получения информации о *всем* слое, временной интервал наблюдений на границе, в течение которого регистрируются отраженные волны, должен быть не меньше, чем $[0, 2T]$.

Задача будет решена только в части восстановления быстрой скорости c_p в области Ω_p^T при дополнительном предположении $T < T^{\text{reg}}$, т.е. в регулярной зоне.

4.6. Управляемость. В системе α^T множество состояний (волн)

$$\mathcal{U}[\Sigma^T] := \{u^f(\cdot, T) \mid f \in \mathcal{M}^T[\Sigma^T]\}$$

называется *достижимым* (с границы Γ за время $t = T$). Согласно (4.6), имеем вложение

$$\mathcal{U}[\Sigma^T] \subset \mathcal{H}[\Omega_p^T], \quad T > 0. \quad (4.11)$$

Свойства достижимых множеств и характер вложений типа (4.11) суть центральные вопросы теории граничного управления. Приведем результат такого рода, установленный в [7] для полного уравнения Ламе¹¹ с использованием фундаментальной теоремы о единственности продолжения решения через нехарактеристическую поверхность [17].

Пусть X_s^T есть (ортогональный) проектор в \mathcal{H} на $\mathcal{H}[\Omega_s^T]$. Его действие сводится к срезке векторных полей на подобласть Ω_s^T :

$$X_s^T y = \begin{cases} y & \text{в } \Omega_s^T, \\ 0 & \text{в } \Omega \setminus \Omega_s^T \end{cases}.$$

Справедливо соотношение

$$\overline{X_s^T \mathcal{U}[\Sigma^T]} = \mathcal{H}[\Omega_s^T], \quad T > 0 \quad (4.12)$$

(закрывание – в метрике \mathcal{H}).

Из (4.12) следует, что любое векторное поле $y \in L_2(\Omega_s^T; \mathbb{R}^3)$, локализованное в подобласти, захваченной медленной модой, может быть аппроксимировано (с любой точностью) волной $u^f(\cdot, T)$ при надлежащем выборе управления $f \in \mathcal{M}^T[\Sigma^T]$. В теории управления это свойство трактуется как *приближенная граничная управляемость* системы α^T в области Ω_s^T .

К финальному моменту $t = T$ волны, инициированные управлениями $f \in \mathcal{F}^T[\Sigma^T]$, заполняют область Ω_p^T , содержащую подобласть Ω_s^T . Соотношение (4.12), грубо говоря, означает, что форма волны $u^f(\cdot, T)$ в Ω_s^T может быть любой. В то же время, это заведомо не так в подобласти $\Omega_p^T \setminus \Omega_s^T$ [3, 7].

4.7. Достижимые множества системы α^T . В системе (4.1)–(4.3) рассмотрим достижимые множества

$$\begin{aligned} \mathcal{U}^T &:= \mathcal{U}[\Sigma^T] = \{u^f(\cdot, T) \mid f \in \mathcal{M}^T[\Sigma^T]\}, \\ \mathcal{U}^{T-\varepsilon} &:= \mathcal{U}[\Gamma \times [\varepsilon, T]] = \{u^f(\cdot, T) \mid f \in \mathcal{M}^T[\Sigma^T], f|_{\Gamma \times [0, \varepsilon]} = 0\}, \\ \mathcal{U}[\Xi_p^T[\sigma]] &= \{u^f(\cdot, T) \mid f \in \mathcal{M}^T[\Xi_p^T[\sigma]]\}. \end{aligned}$$

Отметим, что в силу (4.5) поля из $\mathcal{U}^{T-\varepsilon}$, образованные запаздывающими управлениями, локализованы в $\Omega_p^{T-\varepsilon}$.

¹¹Результат верен также и для системы типа Ламе: см. [1, 3].

Напомним, что $\mathcal{G}[\dots] \subset \mathcal{G}$ и $\mathcal{J}[\dots] \subset \mathcal{J}$ суть подпространства потенциальных и соленоидальных полей, локализованных в соответствующих подобластях.

Следствием установленного в [1] разделения системы α^T на две подсистемы (акустическую и максвелловскую) являются следующие представления достижимого подпространства (см. [3]):

$$\overline{\mathcal{U}}^T = \mathcal{J}[\Omega_s^T] + \mathcal{G}[\Omega_p^T]^{12}; \quad (4.13)$$

$$\begin{aligned} \overline{\mathcal{U}}^T &= \mathcal{H}[\Omega_s^T] \oplus \left\{ y \in \mathcal{H}[\Omega_p^T] \mid \text{supp } y \subset \overline{\Omega_p^T} \setminus \Omega_s^T, y|_{\Omega_p^T \setminus \Omega_s^T} \right. \\ &= \left. \nabla \varphi : \varphi \in H^1(\Omega_p^T \setminus \Omega_s^T), \varphi|_{\Gamma_p^T} = 0 \right\}. \end{aligned} \quad (4.14)$$

Последнее представление проясняет структуру подпространства $\overline{\mathcal{U}}^T$ в подобласти $\Omega_p^T \setminus \Omega_s^T$. Подобное описание для полной системы Ламе неизвестно, что создает проблемы в соответствующей обратной задаче [3, 8].

4.8. Разделение шапочек. Предположим, что, имея дело с системой типа Ламе, мы воспроизводим все шаги “скалярной” процедуры [10], приводящей к локализации волн в шапочке. Основываясь на представлении (4.14), в [3] показано, что в векторном случае (в системе α^T) образуются две шапочки: по одной на концах p - и s -лучей. В каждой из них локализуются соответствующие моды: в p -шапочке – потенциальные поля, а в s -шапочке – соленоидальные. Этот результат был доказан в [3] как *теорема о разделении шапочек* в системе типа Ламе.

Теорема 4.1. *Фиксируем положительное $T < T^{\text{reg}}$; пусть $\sigma \subset \Gamma$ есть замкнутое односвязное множество с кусочно-гладкой границей; $\varepsilon > 0$ выбирается малым настолько, чтобы $(\Lambda_{ps}^T[\sigma] \setminus \Omega_s^T[\sigma]) \cap \omega_s^{T, \varepsilon}[\sigma] = \emptyset$ ¹³. При этих предположениях справедливо соотношение¹⁴*

$$(\overline{\mathcal{U}}^T \ominus \overline{\mathcal{U}}^{T-\varepsilon}) \cap \overline{\mathcal{U}[\Xi_p^T[\sigma]]} = \mathcal{G}[\omega_p^{T, \varepsilon}[\sigma]] \oplus \mathcal{J}[\omega_s^{T, \varepsilon}[\sigma]]. \quad (4.15)$$

¹²Заметим, что слагаемые в правой части равенства имеют ненулевое пересечение.

¹³Подобласть $\Lambda_{ps}^T[\sigma] \subset \Omega$ определена формулой (2.8).

¹⁴Шапочки $\omega_p^{T, \varepsilon}[\sigma]$, $\omega_s^{T, \varepsilon}[\sigma]$ определены формулой (2.3).

В дальнейшем это соотношение будет играть ключевую роль в решении обратной задачи.

4.9. Полугеодезические координаты. Ниже мы рассматриваем объекты (скорость, эйконал, геодезические, нормали, расходимости, волновые фронты), относящиеся только к быстрой метрике

$$ds_p^2 = \frac{|dx|^2}{c_p^2} \quad (4.16)$$

и, упрощая обозначения, опускаем нижний индекс “ p ” у всех величин. Таким образом, быстрая скорость будет обозначаться $c := c_p$, расстояние между точками области x, y $\tau(x, y) := \tau_p(x, y)$, эйконал $\tau(x) := \tau_p(x, \Gamma)$, эквидистанты границы $\Gamma^r := \Gamma_p^r$ и т.д. Отметим, что в динамике эйконал $\tau(x)$ в точке x есть время пробега быстрых волн от границы Γ к этой точке, а его поверхности уровня Γ^τ соответствуют волновым фронтам.

Фиксируем $T : 0 < T < T^{\text{рег}}$. Каждой точке x регулярной зоны $\Omega^T := \Omega_p^T$ отвечает единственная ближайшая к ней точка границы $\gamma(x) : \tau(x, \gamma(x)) = \tau(x)$. Пару $(\gamma(x), \tau(x)) =: i(x)$ называют *полугеодезическими координатами* (п.г.к.) точки x с базой Γ , а множество

$$\Theta^T := i(\Omega^T) \quad (4.17)$$

– *выкройкой* подобласти Ω^T .

Соглашение 4.1. (об обозначениях)

- (1) Через $x(\gamma, \tau)$ обозначается точка регулярной зоны, имеющая п.г.к. γ, τ ;
- (2) если φ есть скалярная или векторозначная функция на Ω^T , то тем же символом φ мы обозначаем функцию $\varphi \circ i^{-1}$, определенную на Θ^T (так что $\varphi(\gamma, \tau) := \varphi(x(\gamma, \tau))$); если ψ задана на Θ^T , то тем же символом ψ обозначается функция $\psi \circ i$ на Ω^T (так что $\psi(x) := \psi(\gamma(x), \tau(x))$);
- (3) запись $\varphi(x) = \psi(\gamma, \tau)$ подразумевает два равенства: $\varphi(x(\gamma, \tau)) = \psi(\gamma, \tau)$ на Θ^T и $\varphi(x) = \psi(\gamma(x), \tau(x))$ в Ω^T .

Возьмем $x \in \Omega^T$ и выберем локальные координаты $\tilde{\gamma}^1, \tilde{\gamma}^2$ в окрестности $\sigma \subset \Gamma$ точки $\gamma(x)$. Функции $\tilde{\gamma}^\alpha(\cdot) := \tilde{\gamma}^\alpha(\gamma(\cdot))$, $\alpha = 1, 2$; $\tau = \tau(\cdot)$ образуют систему полугеодезических координат на содержащем x множестве (трубке)

$$B_\sigma^T := \{x' \in \Omega^T \mid \gamma(x') \in \sigma, \quad 0 \leq \tau(x') < T\}. \quad (4.18)$$

В системе полугеодезических координат евклидовы элементы длины и объема имеют известный вид¹⁵

$$|dx|^2 = g_{\alpha\beta} d\gamma^\alpha d\gamma^\beta + c^2 d\tau^2; \quad dx = cJd\gamma^1 d\gamma^2 d\tau = cd\Gamma^\tau d\tau = c\frac{J}{J_0} d\Gamma d\tau, \quad (4.19)$$

где $J(\gamma, \tau) := (\det \{g_{\alpha\beta}\})^{\frac{1}{2}}$, $J_0(\gamma, \tau) := J(\gamma, 0)$, $d\Gamma^\tau$ и $d\Gamma$ – евклидовы элементы поверхности на Γ^τ и Γ . Элемент длины быстрой метрики в п.г.к. имеет вид

$$ds^2 = h_{\alpha\beta} d\gamma^\alpha d\gamma^\beta + d\tau^2; \quad (4.20)$$

сравнивая (4.19) с (4.20) и учитывая (4.16), получаем

$$h_{\alpha\beta} = \frac{1}{c^2} g_{\alpha\beta}. \quad (4.21)$$

4.10. Восстановление скорости по тензору h . Здесь подготавливается один из шагов схемы решения обратной задачи. Пусть $T < T^{\text{reg}}$. В этом случае, выкройка (4.17) подобласти Ω^T есть $\Theta^T = \Gamma \times [0, T]$. Отображение $i : \Omega^T \rightarrow \Theta^T$ индуцирует на выкройке две метрики (два тензора) g и h такие, что i^{-1} есть изометрия (Θ^T, g) на Ω^T с евклидовой метрикой и изометрия (Θ^T, h) на Ω^T с быстрой метрикой¹⁶. По (4.16) метрики g и h конформно-эквивалентны: $h = c^{-2}g$. Предположим, что нам известен тензор h на Θ^T . Имеет место следующая теорема, доказанная в [16].

Теорема 4.2. *Тензор $h = h(\gamma, \tau)$ на выкройке $\Theta^T = \Gamma \times [0, T)$ и значения c и $\frac{\partial c}{\partial \nu}$ на Γ единственным образом определяют скорость $c(x)$ в Ω^T .*

Отметим, что доказательство этой теоремы в [16] состоит из нескольких этапов. Сначала по тензору $h = h(\gamma, \tau)$ на выкройке $\Theta^T = \Gamma \times [0, T)$ и значениям c и $\frac{\partial c}{\partial \nu}$ определяется скорость $c = c(\gamma, \tau)$ на Θ^T . Решение на этом этапе сводится к частному случаю задачи Ямабе¹⁷ и, по-существу, сводится к решению задачи Коши для некоторого эллиптического уравнения в частных производных¹⁸. Далее по скорости

¹⁵Здесь и далее в этом пункте суммирование по повторяющимся индексам $\alpha, \beta = 1, 2$.

¹⁶Мы обоначаем пересаженные тензоры теми же буквами g и h .

¹⁷Найти множитель c такой, чтобы конформная деформация $c^2 h = g$ обладала предписанной постоянной (в данном случае нулевой) скалярной кривизной.

¹⁸Задача нахождения конформно-евклидовой метрики по ее полугеодезической копии имеет и альтернативное решение, основанное на векторных конформных

$c = c(\gamma, \tau)$ на выкройке Θ^T находится конформно-евклидова метрика: $g = c^2 h$. Наконец, устанавливается, что тензор g определяет соответствие $i^{-1}: \Theta^T \rightarrow \Omega^T$, которое позволяет однозначно восстановить скорость $c(x)$ в Ω^T .

§5. ЛОКАЛИЗАЦИЯ ВОЛН В ШАПОЧКАХ И ВОССТАНОВЛЕНИЕ БЫСТРОЙ СКОРОСТИ

В этом разделе предложена процедура нахождения быстрой скорости в системе типа Ламе по динамическим граничным данным (оператору реакции), использующая локализацию волн на концах p - и s -лучей и теорему 4.1 о *разделении шапочек*¹⁹. Как и схема из [2], она не использует разделения управлений на два класса (см. Введение) но, в отличие от нее, является идейно проще и наглядней и, возможно, лучше подходит для численной реализации (в той части, в которой определяется тензор h на выкройке). Заметим, что пока таким способом удается восстановить только быструю скорость c_p в регулярной зоне Ω_p^T ; вопрос о нахождении этим способом c_s остается открытым.

5.1. Оператор управления системы α^T . С динамической системой типа Ламе α^T (4.1)–(4.3) связан оператор управления W^T , реализующий соответствие “вход-состояние” $W^T: \mathcal{F}^T \rightarrow \mathcal{H}^T$, $\text{Dom } W^T = \mathcal{M}^T$

$$W^T f = u^f(\cdot, T). \quad (5.1)$$

Он непрерывен, а при временах $T < T^*$ инъективен [7, 8]

$$\text{Ker } W^T = \{0\}. \quad (5.2)$$

Напомним определение достижимого множества системы типа Ламе α^T

$$\mathcal{U}^T := \mathcal{U}[\Sigma^T] = \{u^f(\cdot, T) \mid f \in \mathcal{M}^T[\Sigma^T]\};$$

сравнивая это определение с (5.1), видим, что $\mathcal{U}^T = \text{Ran } W^T = W^T \mathcal{F}^T$.

полях Киллинга; этот подход в трехмерном случае приводит к задаче Коши для системы *обыкновенных* дифференциальных уравнений, что должно давать преимущество с точки зрения устойчивости (см. [18]).

¹⁹См. [3].

5.2. Связывающий оператор системы α^T . Оператор $C^T: \mathcal{F}^T \rightarrow \mathcal{F}^T$, $\text{Dom } C^T = \mathcal{M}^T$

$$C^T := (W^T)^* W^T. \quad (5.3)$$

называется *связывающим оператором* системы α^T . Это непрерывный неотрицательный в \mathcal{F}^T оператор, такой, что

$$(C^T f, g)_{\mathcal{F}^T} = (W^T f, W^T g)_{\mathcal{H}^T} = (u^f(\cdot, T), u^g(\cdot, T))_{\mathcal{H}^T}. \quad (5.4)$$

Таким образом, C^T связывает скалярные произведения внешнего и внутреннего пространств динамической системы. Поскольку ядра W^T и C^T совпадают, в силу (5.2), имеем

$$\text{Ker } C^T = \{0\}, \quad T < T^*, \quad (5.5)$$

т.е. при временах, меньших времени заполнения области Ω волнами, идущими от границы, связывающий оператор инъективен.

Ключевая роль связывающего оператора определяется тем, что он явно выражается через оператор реакции. Введем оператор нечетного продолжения $S^T: \mathcal{F}^T \rightarrow \mathcal{F}^{2T}$,

$$(S^T f)(\cdot, t) := \begin{cases} f(\cdot, t), & 0 \leq t < T; \\ -f(\cdot, 2T - t), & T \leq t \leq 2T; \end{cases}$$

и оператор интегрирования $J^{2T}: \mathcal{F}^{2T} \rightarrow \mathcal{F}^{2T}$

$$(J^{2T} f)(\cdot, t) := \int_0^t f(\cdot, s) ds, \quad 0 \leq t \leq 2T.$$

Обозначим $\mathcal{M}^{T,0} := \{f \in \mathcal{M}^T \mid S^T f \in \mathcal{M}^{2T}\}$; отметим включение $S^T \mathcal{M}^{T,0} \subset \text{Dom } R^{2T}$ и равенство

$$\left((S^T)^* f \right)(\cdot, t) = f(\cdot, t) - f(\cdot, 2T - t), \quad 0 \leq t \leq 2T.$$

Лемма 5.1. *На полях класса $\mathcal{M}^{T,0}$ справедливо представление*

$$C^T = \frac{1}{2} (S^T)^* J^{2T} R^{2T} S^T. \quad (5.6)$$

Доказательство вполне аналогично представленному в [7]. Из (5.6) видно, что для нахождения C^T достаточно располагать значениями R^{2T} лишь на $S^T \mathcal{M}^{T,0}$.

5.3. Модель системы α^T . Будем говорить, что гильбертово пространство $\tilde{\mathcal{U}}^T$, оператор

$$\tilde{W}^T: \mathcal{F}^T \rightarrow \tilde{\mathcal{U}}^T$$

и унитарный оператор $\tilde{U}^T: \tilde{\mathcal{U}}^T \rightarrow \tilde{\mathcal{U}}^T$ составляют *модель*

$$\tilde{\alpha}^T := \{ \tilde{\mathcal{U}}^T, \tilde{W}^T, \tilde{U}^T \}$$

системы α^T , если

$$W^T = \tilde{U}^T \tilde{W}^T. \quad (5.7)$$

Оператор \tilde{W}^T назовем *модельным оператором управления*. Во внешнем пространстве \mathcal{F}^T рассмотрим семейство подпространств

$$\mathcal{F}^{T,\xi} := \{ f \in \mathcal{F}^T \mid f(\cdot, t) = 0, 0 \leq t < T - \xi \}, \quad 0 \leq \xi \leq T, \quad (5.8)$$

образованных *запаздывающими управлениями*

$$(\mathcal{F}^{T,0} = \{0\}, \mathcal{F}^{T,T} = \mathcal{F}^T).$$

Им отвечает семейство множеств

$$\mathcal{U}^\xi := W^T \mathcal{F}^{T,\xi} = \{ u^f(\cdot, \xi) \mid f \in \mathcal{F}^T \}, \quad 0 \leq \xi \leq T,$$

образованных состояниями системы α^T , достижимыми к моменту $t = \xi$. Последнее равенство в определении \mathcal{U}^ξ следует из стационарности системы α^T . Стационарность приводит также к тому, что выполнено свойство управляемости (4.12) (с заменой T на ξ).

Множества

$$\tilde{\mathcal{U}}^\xi := \tilde{W}^T \mathcal{F}^{T,\xi} \subset \tilde{\mathcal{U}}^T, \quad 0 \leq \xi \leq T$$

играют в модели роль достижимых множеств.

Оператор управления W^T , как и всякий замкнутый оператор, допускает полярное разложение (см., например, [19])

$$W^T = V^T |W^T|, \quad (5.9)$$

в котором $|W^T|: \mathcal{F}^T \rightarrow \mathcal{F}^T$ есть неотрицательный квадратный корень из оператора $(W^T)^* W^T$

$$|W^T| := \left[(W^T)^* W^T \right]^{\frac{1}{2}},$$

а V^T – изометрия $\text{Ran } |W^T|$ на $\text{Ran } W^T$.

Из определения связывающего оператора (5.3) следует, что

$$|W^T| := (C^T)^{\frac{1}{2}},$$

а значит, в силу леммы 5.1, *модуль* $|W^T|$ оператора управления определяется оператором реакции R^{2T} .

Ядра операторов $(C^T)^{\frac{1}{2}}$ и C^T совпадают, поэтому, в силу (5.5), при $T < T^*$

$$\text{Ker } (C^T)^{\frac{1}{2}} = \{0\};$$

из этого следует, что

$$\overline{\text{Ran } |W^T|} = \overline{\text{Ran } (C^T)^{\frac{1}{2}}} = \mathcal{F}^T \ominus \text{Ker } (C^T)^{\frac{1}{2}} = \mathcal{F}^T. \quad (5.10)$$

Отсюда видно, что изометрию V^T можно расширить до унитарного оператора из \mathcal{F}^T на подпространство $\overline{\mathcal{U}}^T = \overline{\text{Ran } W^T}$; за расширением сохраним обозначение V^T .

Из рассмотрений заключаем, что набор $\{\mathcal{F}^T, |W^T|, V^T\} =: |\alpha^T|$ является моделью системы α^T . Достижимые множества в этой модели суть

$$|\mathcal{U}|^\xi := |W^T| \mathcal{F}^{T,\xi} = (C^T)^{\frac{1}{2}} \mathcal{F}^{T,\xi}, \quad 0 \leq \xi \leq T,$$

т.е. определяются данными обратной задачи (оператором реакции R^{2T}). Определим соответствующие достижимые подпространства в этой модели

$$\overline{|\mathcal{U}|}^\xi := \overline{|W^T| \mathcal{F}^{T,\xi}} = (V^T)^* \overline{\mathcal{U}}^\xi \quad (5.11)$$

(замыкание в \mathcal{F}^T). Последнее равенство следует из (5.10) и унитарности $V^T: \mathcal{F}^T \rightarrow \overline{\mathcal{U}}^T$. Аналогично, для произвольного ε ($0 < \varepsilon < \xi$)

$$\overline{|\mathcal{U}|}^{\xi-\varepsilon} = (V^T)^* \overline{\mathcal{U}}^{\xi-\varepsilon} \quad (5.12)$$

($\mathcal{U}^{\xi-\varepsilon} := W^T \mathcal{F}^{T,\xi-\varepsilon}$).

Пусть $\sigma \subset \Gamma$ – связное подмножество границы; обозначим

$$\Xi_p^{T,\xi}[\sigma] := \Sigma^T \cap K_p^T[\overline{\sigma} \times [T - \xi, T]]^{20}.$$

Определим достижимое множество

$$\mathcal{U}[\Xi_p^{T,\xi}[\sigma]] := W^T \mathcal{F}^T[\Xi_p^{T,\xi}[\sigma]];$$

соответствующее достижимое множество в модели $|\alpha^T|$

$$|\mathcal{U}|[\Xi_p^{T,\xi}[\sigma]] := |W^T| \mathcal{F}^T[\Xi_p^{T,\xi}[\sigma]] \quad (5.13)$$

и подпространство

$$\overline{|\mathcal{U}|[\Xi_p^{T,\xi}[\sigma]]} = (V^T)^* \overline{\mathcal{U}[\Xi_p^{T,\xi}[\sigma]]}.$$

²⁰Область влияния $K_p^T[\dots]$ определена формулой (2.5).

Выберем произвольную точку границы $\gamma' \in \Gamma$ и (малое) $\varepsilon > 0$. Пусть $\sigma_\varepsilon(\gamma') := \{\gamma \in \Gamma \mid d(\gamma', \gamma) \leq \varepsilon\}$ (d – евклидово расстояние на Γ). Определим достижимое множество из волн, порожденных управлениями, действующих с $\sigma_\varepsilon(\gamma')$ за время t ($0 \leq t \leq T$)

$$\mathcal{U}^t[\sigma_\varepsilon(\gamma')] := \{u^f(\cdot, T) \mid f \in \mathcal{F}^T, \text{supp } f \subset \sigma_\varepsilon(\gamma') \times [T-t, T]\}; \quad (5.14)$$

соответствующее достижимое множество в модели $|\alpha^T|$ будет

$$|\mathcal{U}|^t[\sigma_\varepsilon(\gamma')] := |W^T| \mathcal{F}^T[\sigma_\varepsilon(\gamma') \times [T-t, T]] \quad (5.15)$$

и подпространство

$$\overline{|\mathcal{U}|}^t[\sigma_\varepsilon(\gamma')] = (V^T)^* \overline{\mathcal{U}}^t[\sigma_\varepsilon(\gamma')]. \quad (5.16)$$

5.4. Модельные шапочки. Выберем произвольную точку $\gamma \in \Gamma$, положительное $T < T^{\text{reg}}$ и (малое) $\varepsilon > 0$.

Обозначим достижимое подпространство системы α^T

$$w_p^{\xi, \varepsilon}[\sigma_\varepsilon(\gamma)] := (\overline{\mathcal{U}}^\xi \ominus \overline{\mathcal{U}}^{\xi-\varepsilon}) \cap \overline{|\mathcal{U}|[\Xi_p^{T, \xi}[\sigma_\varepsilon(\gamma)]]},$$

состоящего из волн, инициированных запаздывающими управлениями (время задержки $T - \xi$). Как следствие стационарности системы типа Ламе, получаем аналог теоремы 4.1 о разделении шапочек

$$w_p^{\xi, \varepsilon}[\sigma_\varepsilon(\gamma)] = \mathcal{G}[\omega_p^{\xi, \varepsilon}[\sigma_\varepsilon(\gamma)]] \oplus \mathcal{J}[\omega_s^{\xi, \varepsilon}[\sigma_\varepsilon(\gamma)]],$$

где $\mathcal{G}[\omega_p^{\xi, \varepsilon}[\sigma_\varepsilon(\gamma)]]$, $\mathcal{J}[\omega_s^{\xi, \varepsilon}[\sigma_\varepsilon(\gamma)]]$ – подпространства потенциальных и соленоидальных полей, локализованных в соответствующих шапочках.

Далее, определим достижимое подпространство в модели $|\alpha^T|$

$$\overline{|w|}_p^{\xi, \varepsilon}[\sigma_\varepsilon(\gamma)] := (\overline{|\mathcal{U}|}^\xi \ominus \overline{|\mathcal{U}|}^{\xi-\varepsilon}) \cap \overline{|\mathcal{U}|[\Xi_p^{T, \xi}[\sigma_\varepsilon(\gamma)]]}. \quad (5.17)$$

Следствием унитарности оператора V^T и соотношений (5.11)–(5.13) является равенство

$$\overline{|w|}_p^{\xi, \varepsilon}[\sigma_\varepsilon(\gamma)] = (V^T)^* w_p^{\xi, \varepsilon}[\sigma_\varepsilon(\gamma)].$$

Из этого равенства, унитарности V^T и (5.16) следует

$$\overline{|w|}_p^{\xi, \varepsilon}[\sigma_\varepsilon(\gamma)] \cap \overline{|\mathcal{U}|}^t[\sigma_\varepsilon(\gamma')] = (V^T)^* \left(w_p^{\xi, \varepsilon}[\sigma_\varepsilon(\gamma)] \cap \overline{\mathcal{U}}^t[\sigma_\varepsilon(\gamma')] \right)^{21}.$$

В результате мы приходим к следующему предложению.

²¹Достижимое множество $\mathcal{U}^t[\sigma_\varepsilon(\gamma')]$ определено формулой (5.14).

Предложение 5.1.

$$\overline{w}_p^{\xi, \varepsilon}[\sigma_\varepsilon(\gamma)] \cap \overline{\mathcal{U}}^t[\sigma_\varepsilon(\gamma')] \neq \{0\} \iff w_p^{\xi, \varepsilon}[\sigma_\varepsilon(\gamma)] \cap \overline{\mathcal{U}}^t[\sigma_\varepsilon(\gamma')] \neq \{0\}.$$

5.5. Время пробега быстрых волн от точки границы до точки области. Фиксируем положительное $T < T^{\text{reg}}$; пусть γ, γ' – две различные точки границы Γ , $x_\alpha(\gamma, \xi)$ ($\alpha = p, s$) – точка области Ω , расположенная на конце соответствующего луча, выходящего из γ по нормали к границе ($0 \leq \xi \leq T$); $\Omega_\alpha^t[\gamma']$ – метрическая окрестность²² точки γ' в соответствующей метрике. Выберем (малое) $\varepsilon > 0$. Обозначим время пробега p - или s - волн от точки γ' до соответствующей шапочки $\omega_\alpha^{\xi, \varepsilon}[\sigma_\varepsilon(\gamma)]$ через $\tau_\alpha(\gamma', \omega_\alpha^{\xi, \varepsilon}[\sigma_\varepsilon(\gamma)])$. Легко видеть, что

$$\tau_\alpha(\gamma', \omega_\alpha^{\xi, \varepsilon}[\sigma_\varepsilon(\gamma)]) = \inf \left\{ t > 0 \mid \omega_\alpha^{\xi, \varepsilon}[\sigma_\varepsilon(\gamma)] \cap \overline{\Omega}_\alpha^t[\gamma'] \neq \emptyset \right\}.$$

Имеет место следующее утверждение: существует такое $\delta > \varepsilon$, достаточно близкое к ε , что для любой точки границы $\gamma' \in \sigma_\delta(\gamma) \setminus \sigma_\varepsilon(\gamma)$ выполнено

$$\tau_p(\gamma', \omega_p^{\xi, \varepsilon}[\sigma_\varepsilon(\gamma)]) < \tau_s(\gamma', \omega_s^{\xi, \varepsilon}[\sigma_\varepsilon(\gamma)]).$$

Действительно, полагая $\delta := d(\gamma, \gamma')$ ²³ и пользуясь общими свойствами p - и s - расстояний и тем, что $c_p > c_s$, можно установить, что при малых $\delta - \varepsilon > 0$

$$\tau_s(\gamma', \omega_s^{\xi, \varepsilon}[\sigma_\varepsilon(\gamma)]) = \tau_p(\gamma', \omega_p^{\xi, \varepsilon}[\sigma_\varepsilon(\gamma)]) + \beta(\gamma, \xi, \varepsilon, \delta),$$

где $\beta(\gamma, \xi, \varepsilon, \delta)$ – некоторая положительная функция, допускающую оценку: $\beta(\gamma, \xi, \varepsilon, \delta) = o(\delta - \varepsilon)$ при $\delta \rightarrow \varepsilon$.

Пусть

$$\mathcal{U}_s^t[\sigma_{\varepsilon'}(\gamma')] := X_{\Omega_s^T[\sigma_{\varepsilon'}(\gamma')]} \mathcal{U}^t[\sigma_{\varepsilon'}(\gamma')] \quad ^{24}.$$

Тогда, при тех же предположениях, указанное утверждение равносильно следующему: при достаточно малых $\varepsilon' > 0$, таких, что $\sigma_{\varepsilon'}(\gamma') \subset \sigma_\delta(\gamma) \setminus \sigma_\varepsilon(\gamma)$, с ростом t достижимое множество $\mathcal{U}^t[\sigma_{\varepsilon'}(\gamma')]$ будет иметь непустое пересечение с шапочкой $\omega_p^{\xi, \varepsilon}[\sigma_\varepsilon(\gamma)]$ раньше, чем множество $\mathcal{U}_s^t[\sigma_{\varepsilon'}(\gamma')]$ – с шапочкой $\omega_s^{\xi, \varepsilon}[\sigma_\varepsilon(\gamma)]$.

Обратим внимание, что в динамике фронт p - волны, порожденный источниками, локализованными в $\sigma_{\varepsilon'}(\gamma')$, зацепит медленную шапочку $\omega_s^{\xi, \varepsilon}[\sigma_\varepsilon(\gamma)]$, разумеется, раньше, чем он зацепит быструю шапочку

²²Метрические окрестности определены формулой (2.2).

²³ d – евклидово расстояние на Γ .

²⁴Проектор $X_{\Omega_s^T}$ определен формулой (4.12).

$\omega_p^{\xi, \varepsilon}[\sigma_\varepsilon(\gamma)]$, но наблюдатель, построивший модель $|\alpha^T|$ по оператору реакции R^{2T} , этого “не увидит”. Это – следствие того, что волновое поле между быстрым и медленным фронтом волны, является, как видно из (4.14), потенциальным, а оно ортогонально соленоидальному (по теореме 4.1 о разделении шапочек) полю, локализованному в медленной шапочке $\omega_s^{\xi, \varepsilon}[\sigma_\varepsilon(\gamma)]$. Указанное обстоятельство и является тем препятствием к восстановлению медленной скорости c_s , преодолеть которое до сих пор не удалось.

Вспомним теперь, что, согласно (2.4), при $\varepsilon \rightarrow 0$ шапочка $\omega_\alpha^{\xi, \varepsilon}[\sigma_\varepsilon(\gamma)]$ стягивается к соответствующей точке $x_\alpha(\gamma, \xi)$ ($\alpha = p, s$), а окрестность $\sigma_{\varepsilon'}(\gamma')$ при $\varepsilon' \rightarrow 0$ – к точке $\gamma' \in \Gamma$. Пользуясь этими свойствами и непрерывностью расстояния, представим время пробега быстрых волн от точки γ' до точки $x_p(\gamma, \xi)$ в виде

$$\tau_p(\gamma', x_p(\gamma, \xi)) = \liminf_{\varepsilon \rightarrow 0} \left\{ t > 0 \mid \omega_p^{\xi, \varepsilon}[\sigma_\varepsilon(\gamma)] \cap \bar{\Omega}_p^t[\sigma_\varepsilon(\gamma')] \neq \emptyset \right\}.$$

Далее, поскольку $\text{supp } \mathcal{U}^t[\sigma_\varepsilon(\gamma')] = \bar{\Omega}_p^t[\sigma_\varepsilon(\gamma')]$, то

$$\omega_p^{\xi, \varepsilon}[\sigma_\varepsilon(\gamma)] \cap \bar{\Omega}_p^t[\sigma_\varepsilon(\gamma')] \neq \emptyset \iff w_p^{\xi, \varepsilon}[\sigma_\varepsilon(\gamma)] \cap \bar{\mathcal{U}}^t[\sigma_\varepsilon(\gamma')] \neq \{0\}.$$

Сравнивая этот результат с предложением 5.1, приходим к представлению, которое используется ниже при решении обратной задачи.

Лемма 5.2.

$$\tau_p(\gamma', x_p(\gamma, \xi)) = \liminf_{\varepsilon \rightarrow 0} \left\{ t > 0 \mid \overline{|w|_p^{\xi, \varepsilon}}[\sigma_\varepsilon(\gamma)] \cap \overline{|\mathcal{U}|^t}[\sigma_\varepsilon(\gamma')] \neq \{0\} \right\}. \quad (5.18)$$

Отметим, что, в силу (5.15) и (5.17), его правая часть определяется модулем $|W|^T$ оператора управления, а значит, оператором реакции R^{2T} .

5.6. Восстановление быстрой скорости. Схема восстановления быстрой скорости в регулярной зоне опирается на теорему 4.1 о разделении шапочек и состоит из следующих шагов.

1. По оператору реакции R^{2T} построим модель $|\alpha|^T$ системы типа Ламе. В этой модели по известному оператору $|W|^T$ найдем *изометрические копии* достижимых множеств $w_p^{\xi, \varepsilon}[\sigma_\varepsilon(\gamma)]$ и $\mathcal{U}^t[\sigma_\varepsilon(\gamma')]$, т.е. множества $|w|_p^{\xi, \varepsilon}[\sigma_\varepsilon(\gamma)]$ и $|\mathcal{U}|^t[\sigma_\varepsilon(\gamma')]$ ²⁵

²⁵Выбрав точку $\gamma \in \Gamma$ и (малое) $\varepsilon > 0$, в качестве γ' можно взять любую точку из $\sigma_\delta(\gamma) \setminus \sigma_\varepsilon(\gamma) \subset \Gamma$ (δ – произвольное число: $\varepsilon < \delta < \delta_1$, где δ_1 зависит, вообще говоря, от γ и ε).

2. Зафиксировав γ' и уменьшая $\varepsilon > 0$, добьемся, чтобы $\sigma_\varepsilon(\gamma) \cap \sigma_\varepsilon(\gamma') = \emptyset$. Варьируя t от ξ до 0 и контролируя выполнение равенства

$$\overline{w}_p^{\xi, \varepsilon}[\sigma_\varepsilon(\gamma)] \cap \overline{\mathcal{U}}^t[\sigma_\varepsilon(\gamma')] = \{0\},$$

найдем точную нижнюю грань тех t , при которых оно нарушается. В динамике, в ситуации исходной динамической системы, она равна времени, при котором фронт волны, порожденной управлениями, действующими из окрестности $\sigma_\varepsilon(\gamma')$, впервые касается быстрой шапочки $\omega_p^{\xi, \varepsilon}[\sigma_\varepsilon(\gamma)]$.

3. Переходя к пределу при $\varepsilon \rightarrow 0$ и пользуясь леммой 5.2, найдем расстояние в быстрой метрике от точки границы γ' (из достаточно малой проколотой окрестности точки γ) до точки области $x_p(\gamma, \xi)$.

4. Выбирая три различных точки $\gamma'_1, \gamma'_2, \gamma'_3$ из малой проколотой окрестности точки γ , найдем три величины (функции от γ и ξ):

$$\tau_p(\gamma'_1, \gamma, \xi), \tau_p(\gamma'_2, \gamma, \xi), \tau_p(\gamma'_3, \gamma, \xi),$$

которые позволяют восстановить тензор $\{h_{\alpha\beta}(\gamma, \xi)\}$ быстрой метрики в окрестности точки $(\gamma, \xi) \in \Theta^T$ ($T < T^{\text{рег}}$) (см. [11]).

5. По тензору $\{h_{\alpha\beta}\}$ найдем связь полугеодезических и декартовых координат и определим скорость $c_p(x)$ в регулярной зоне $\Omega_p^T \subset \Omega$ (теорема 4.2).

Динамическая обратная задача по восстановлению быстрой скорости в регулярной зоне решена.

Автор благодарен М. И. Белишеву за полезные консультации.

СПИСОК ЛИТЕРАТУРЫ

1. М. И. Belishev, *Dynamical inverse problem for a Lamé type system*. — J. Inverse and Ill-Posed Problems **14**, No. 8 (2006), 751–766.
2. В. Г. Фоменко, *Динамическая обратная задача для системы типа Ламе (ВС-метод)*. — Зап. научн. семин. ПОМИ **426** (2014), 218–259.
3. М. И. Белишев, В. Г. Фоменко, *О достижимых множествах динамической системы типа Ламе*. — Пробл. мат. анализа **70** (2013), 57–70.
4. В. Г. Фоменко, *Динамическая обратная задача для системы типа Ламе (ВС-метод)*. Автореф. дисс. ... канд. физ.-мат. наук. Изд-во Адмирал, СПб, 2016, 16 с.
5. М. И. Белишев, А. С. Благовещенский, *Динамические обратные задачи теории волн*, СПб., Изд-во С.-Петербургского ун-та, 1999.

6. М. И. Белишев, *Граничное управление и томография римановых многообразий (ВС-метод)*. — Успехи матем. наук **72**, No. 4 (436) (2017), 3–66.
7. M. I. Belishev, I. Lasiecka, *The dynamical Lamé system: regularity of solutions, boundary controllability and boundary data continuation*. J. ESAIM: Control, Optimisation and Calculus of Variations, **8** (2002), 143–167.
8. M. I. Belishev, *Recent progress in the boundary control method*. — Inverse Problems **23**, No. 5 (2007), R1–R67.
9. М. И. Белишев, *О реконструкции риманова многообразия по граничным данным: теория и план численного эксперимента*. — Зап. научн. семин. ПОМИ **380** (2010), 8–30.
10. М. И. Белишев, *Определение расстояний до виртуального источника по динамическим граничным данным*. — Зап. научн. семин. ПОМИ **393** (2011), 29–45.
11. M. I. Belishev, M. N. Demchenko, *Time-optimal reconstruction of Riemannian manifold via boundary electromagnetic measurements*. — J. Inverse and Ill-Posed Problems **19**, No. 2 (2011), 167–188.
12. Э. Б. Быховский, Н. В. Смирнов, *Об ортогональном разложении пространства вектор-функций, квадратично суммируемых по заданной области, и операторах векторного анализа*. — Тр. Матем. ин-та АН СССР **59** (1960), 5–36.
13. О. А. Ладыженская, *Математические вопросы динамики вязкой несжимаемой жидкости*. Москва, Наука, 1970.
14. О. А. Ладыженская, В. А. Солонников, *О принципе линеаризации и инвариантных многообразиях для задачи магнитогидродинамики*. — Зап. научн. семин. ЛОМИ **38** (1973), 46–93.
15. В. Г. Фоменко, *Оператор реакции системы Ламэ*. — Сложные системы и процессы **1**(17) (2010), 13–18.
16. М. И. Белишев, А. К. Гласман, *Динамическая обратная задача для системы Максвелла: восстановление скорости в регулярной зоне (ВС-метод)*. — Алгебра и анализ **12**, No. 2 (2000), 131–187.
17. M. Eller, V. Isakov, G. Nakamura, D. Tataru, *Uniqueness and stability in the Cauchy problem for Maxwell's and elasticity systems*. Nonlinear PDE and Applications, Eds. D.Cioranescu, J-L. Lions, College de France Seminar **14**, 329–349. *Studies in Mathematics and its applications*, 31, North-Holland, Elsevier Science, 2002.
18. L. Pestov, G. Uhlmann, H. Zhou, *An inverse kinematic problem with internal sources*. — Inverse Problems **31**, No. 5 055006 (2015).
19. М. Ш. Бирман, М. З. Соломяк, *Спектральная теория самосопряженных операторов в гильбертовом пространстве*, ЛГУ, Л, 1980.

Fomenko V.G. Determination of fast velocity in a Lamé type dynamical system.

In the paper, for a Lamé-type system, the inverse problem on recovering the fast wave velocity from the boundary dynamical data (the response

operator) is solved. The velocity is determined in the near-boundary domain, the depth of determination being proportional to the observation time. We use the BC-method, which is an approach to inverse problems based on their connections with boundary control theory.

Мелитопольский государственный
педагогический университет
им. Богдана Хмельницкого,
ул. Гетьманская, д. 20,
г. Мелитополь, 72300, Украина
E-mail: fomenkovova@mail.ru

Поступило 22 октября 2019 г.